

## 8. Symmetrien und Erhaltungssätze

Der Zusammenhang zwischen Symmetrien und Erhaltungssätzen wurde zuerst von Emmy Noether 1918 erkannt (Noether-Theorem)

die Invarianz der Wirkung unter einer euklischen stetigen Transformationsgruppe hat die Existenz einer Erhaltunggröße zur Folge und umgekehrt hat jede Erhaltunggröße die Existenz einer Symmetrie (mindestens infinitesimal) der Wirkung zur Folge.

Sowohl im Lagrangewil im Hamiltonformalismus mögl., also sowohl für klassische wie auch Quantensysteme, hier nur letzteres

### 8.1 Allgemeine Betrachtungen

Operator  $Q$  entspricht einer physikalischen Observablen wenn  $\langle Q \rangle$  reell, d.h. Operator  $Q$  umß hervitesch sein:  $Q^\dagger$  adjungierbar Operator gleich  $Q$  ( $Q_{ki}^* = Q_{ik}$ )

Observable erhalten wenn  $\frac{d\langle Q \rangle}{dt} = 0$

Zeitentwicklung des Erwartungswerts durch Erhaltungstheorem gegeben:

$$\frac{d\langle Q \rangle}{dt} = \frac{1}{i\hbar} \langle [Q, H] \rangle = \frac{1}{i\hbar} \langle (QH - HQ) \rangle$$

davon ist Observable  $Q$  erhalten wenn der entsprechende Operator mit dem Hamiltonoperator des Systems kommutiert.  $[Q, H] = 0$

Eigenfunktionen von  $H$  können so gewählt werden, daß sie auch Eigenfunktionen von  $Q$  sind

Sie durch  $\hat{Q}$  generierten infinitesimalen Transformationsoperationen definieren eine Symmetrie.

z.B. Generator der Rotation: Drehimpuls

"

Translation: Impuls (siehe unten)

Eine Symmetrieeinheit sei definiert durch einen Operator  $U$ :  $\psi'(\vec{r}, t) = U \psi(\vec{r}, t)$

Herleitung der Wellenfunktion um  $\beta$  geschieht  
sein, d.h. Operator  $U$  um  $\beta$  unitär sein

$$U^+ = U^{-1} \quad U^+ U = U U^+ = 1 \quad (\text{Unitätsmatrix})$$

$U$  ist ein Symmetrieeinheitoperator, wenn  $U\psi$  dieselbe Schrödinger-Gleichung erfüllt wie  $\psi$ . Das ist der Fall, wenn  $U$  mit dem Hamiltonoperator des Systems kommutiert  $[H, U] = (HU - UH) = 0$   
→ damit schließt sich der Kreis

## 2 Möglichkeiten

a) wenn  $U$  auch hermitesch, dann gibt es eine entsprechende erhaltene Observable

b) wenn  $U$  nicht hermitesch, kann es einen hermitesch Operator (Generator)  $F$  geben, so dass  $U = \exp(i\varepsilon F)$  für Transformation  $\varepsilon$

für kleine  $\varepsilon$ :

$$U\psi = \exp(i\varepsilon F)\psi = (1 + i\varepsilon F + \frac{(i\varepsilon F)^2}{2!} + \dots) \psi$$

dann ist Erwartungswert von  $F$  erhalten und  $F$  ist Generator der Sym. operation  $U$ .

(beweise:  $U^\dagger U = \exp(-i\varepsilon F^\dagger) \exp(i\varepsilon F) = \exp(i\varepsilon(F - F^\dagger)) = 1$   
da  $F$  hermitesch)

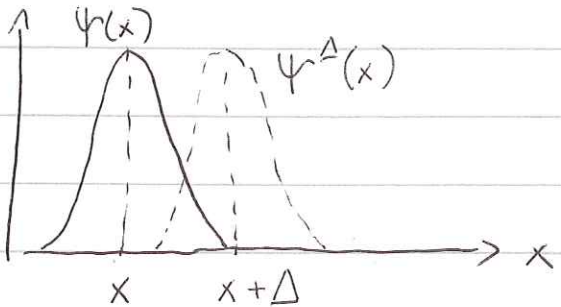
die 2 Möglichkeiten entsprechen 2 Typen von Transformationsoperationen und Erhaltungssätzen

b) kontinuierliche Transformationen: U setzt kontinuierlich in Einheitsoprate über (Translation, Rotation, ...) → führen zu additiven Erhaltungssätzen

a) diskontinuierliche Transformationen: immer diskrete Zustände, z.B. Faltung von  $\Psi$  mit U unitär und hermitesch  $U^2 = UU^\dagger = UU^{-1} = I$  → führen zu multiplikativen Erhaltungssätzen  
 - Verknüpfung: Addition im Exponenten  $\hat{=} \text{Multiplikation}$ , (zu Fall b)

• Translation als Beispiel kontinuierliche Transformation: U $^\Delta$  verschiebt Teilchen um  $\Delta$  in x  
 $U^\Delta \Psi(x) = \Psi^\Delta(x)$

Translationsinvarianz:  $\Psi^\Delta(x + \Delta) = \Psi(x)$



$\Delta$  kann sehr klein gemacht werden und  $\Psi^\Delta(x + \varepsilon)$  kann dann um x expandiert werden

$$\begin{aligned}\Psi(x) &= \Psi^\Delta(x + \varepsilon) = \Psi^\Delta(x) + \varepsilon \frac{d\Psi^\Delta}{dx} + \dots \\ &\approx (1 + \varepsilon \frac{d}{dx}) \Psi^\Delta(x) \\ &= (1 - \varepsilon P_x/\hbar) \Psi^\Delta(x)\end{aligned}$$

endliches  $\Delta$  durch n Schritte  $\varepsilon$ ,  $\Delta = n\varepsilon$

$$\Psi^\Delta(x) = (1 + \Delta \frac{P_x}{i\hbar}) \Psi(x) \quad (\text{welt von links mit } 1 - \frac{\Delta P_x}{i\hbar} \text{ und vernachlässigt } \Delta^2 \dots)$$

$$= \lim_{n \rightarrow \infty} \left(1 + \varepsilon \frac{P_x}{i\hbar}\right)^n \Psi(x) = \lim_{n \rightarrow \infty} \left(1 + \Delta \frac{P_x}{i\hbar} \cdot \frac{1}{n}\right)^n \Psi(x)$$

$$= \underbrace{\exp\left(-\frac{i\Delta P_x}{\hbar}\right)}_{U^\Delta} \Psi(x) \quad U^\Delta = \exp(i\Delta F) \quad \tilde{F} = -\frac{P_x}{\hbar}$$

Translation aus u.v. beinhaltet Impulsverlust

## 8.2 Additive Erhaltungsätze

- elektrische Ladungserhaltung: wurde bereits 1941 von Pauli mit der Eindeutigkeit der elektromagnetischen WW (keine absolute Skala für Potential) verknüpft, bei zugleich unendlicher Reichweite (Rev. Mod. Physics 13 (1941) 203)

$$\boxed{\sum q_i = \text{konstant}}$$

experimentelle Tests:  $e \rightarrow \nu \gamma$  wäre durch alle anderen Erhaltungssätze erlaubt. Zerfall in Atom würde doch in einer Schale untersetzen, dass die ein weinige gebundenenes Elektron und ein Röntgenquant gefüllt würde  $\gtrsim 4 \cdot 10^{26} \text{ y}$  (PDG)  
neuer Limit Borexino Dez. 2015  $\gtrsim 6.6 \cdot 10^{28} \text{ y}$

Ladungserhaltender  $\beta$ -Zerfall des Neutrons  
 $n \rightarrow p \bar{\nu}_e \bar{\nu}_e$  im Vergleich zu  $n \rightarrow p e^- \bar{\nu}_e$

$$\frac{\Gamma(n \rightarrow p \bar{\nu}\bar{\nu})}{\Gamma_{\text{tot}}} < 8 \cdot 10^{-27}$$

- Baryonzahlserhaltung: weist jedem Teilchen analog zur elektrischen Ladung eine Baryonenzahl oder baryonische Ladung  $A$  zu.

Quarks haben  $A = 1/3$  Antiquarks  $A = -1/3$

$A=1$  für  $p, n, \Delta, \Lambda, \dots$  alle Baryonen haben  $A=1$

$A=-1$   $\bar{p}, \bar{n}, \bar{\Lambda}, \dots$  alle Anti "  $A=-1$

fürde experimentell

$$\boxed{\sum A_i = \text{konstant}}$$

Sache nach Baryonzahl verledeender Zerfällen

$$\text{z.B. } \Gamma(\tilde{\tau}^- \rightarrow \Lambda\pi^-) / \Gamma_{\text{tot}} < 7.2 \cdot 10^{-8} \quad \text{oder}$$

Zerfall des Protons, Sache in großen unterirdischen superreinen Wassertanks mit vielen Photomultipliern, Nachweis von Cherenkov licht der leichten Zerfallsteilchen  $\tilde{\nu} > 2.1 \cdot 10^{29} \text{ y}$   
vgl. mit Alter des Universums  $1.3 \cdot 10^{10} \text{ y}$

Kein zweigende theoretischer Grund, kein Gegenrator einer entsprechenden Symmetrie bekannt.

Sache nach einer 5. Kraft die an Baryonzahl koppelt und unendliche Reichweite hat, zusätzlich zu Gravitation, die an Masse koppelt  
Kraft zwischen 2 Hullenonen oder Kerzen

$$\bar{F} = - \underbrace{G M_1 M_2 / r^2}_{\text{Gravitation } F_g} + \underbrace{\eta^2 A_1 A_2 / r^2}_{5. \text{ Kraft}}$$

Packungsichte von Atomen  $M/A$  variiert um ca  $10^{-3}$ , Sache nach Differenz zwischen träger und gravitativer Masse  $F = ma$  und  $F_g$  mit  $g = \frac{M_e G}{R_e^2}$   $\Delta x = \frac{\Delta a}{g}$  gesucht

Experiment von Fötvös et al (Ann. Physik 68(1922)) gibt Grenzwert für Effekt  $|\Delta x| < 10^{-8}$

Reanalyse 1986 zeigte Effekt, weitere Experimente (Massen suspendiert in großem Wassertank in der Nähe von Cliffs, z.B. Pallisades bei New York) bestätigen dies nicht. In der Tat ausgeschlossenes Argument: da keine entsprechende langreichweite WW

gefunden wird und es daher keine Theor. Basis für Baryonenzahl erhalten gibt, kein Grund, daß A exakt erhalten, nur 'empirische Regel' in einigen Grand Unified Theories GUT verfällt Proton je nach Kollisionswinne auf Zeitskala  $10^{29} - 10^{30}$  y

## Leptonzahl erhalten

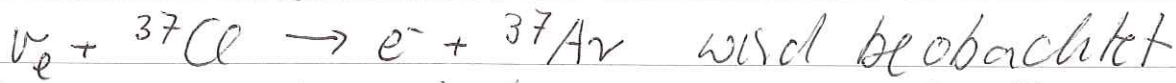
1953 als empirisches Gesetz von Kauopouloski & Ramond eingeführt um Abwesenheit bestimmt Prozess zu erklären

z.B.  $\gamma \rightarrow e^+ e^-$  und  $\gamma \rightarrow p\bar{p}$  im Feld eines 3. Teilchens aber nicht  $\gamma \rightarrow e^+ \mu^-$  oder  $\mu \rightarrow e\gamma$

→ Zuordnung einer Leptonzahl zu jeder Beziehung von Leptonen,  $L_e = 1$  für  $e^-$  und  $\nu_e$  etc. empirisch ist die Leptonzahl für jede Beziehung erhalten

$$\left[ \sum_i L_{e_i} = \text{konstant} \right] \left[ \sum_i L_{\mu_i} = \text{konst.} \right] \left[ \sum_i L_{\tau_i} = \text{konst.} \right]$$

- sind Neutrino und Antineutrino identisch (Majorana Neutrino) oder nicht identisch (Dirac Neutr.).  
erste Experiment (R. Davis 1955) an Reaktoren sagten 'nicht identisch'



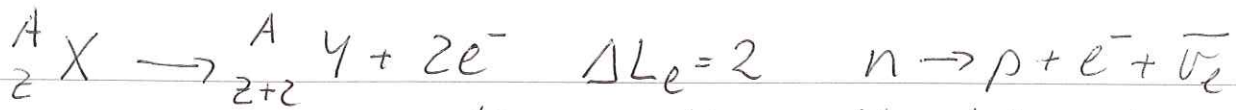
(Sonne neutrinos) ebenso wie  ${}^{37}\text{Ar} + e^- \rightarrow {}^{37}\text{Cl} + \nu_e$  <sup>electron capture</sup>  
am Reaktor aus Spaltung neu hinzugekommene Kerne  
die durch  $\beta^-$ -Zerfälle  $\nu_e$  produziert  
Suche nach  $\bar{\nu}_e + {}^{37}\text{Cl} \rightarrow e^- + {}^{37}\text{Ar}$  nicht beob-

achtet, Obergrenze für Wirkungsquerschnitt  
 $\delta \leq 2 \cdot 10^{-42} \text{ cm}^2$

- Sind  $\nu_e$  und  $\bar{\nu}_e$  wirklich verschieden?
  - 1962 Brookhaven Nat. Lab Alternierend Gradient Synchrotron AGS 15 GeV  $p + \beta \rightarrow \pi^+ X$
  - Untersuchung Zerfallskanal  $\pi^- \rightarrow \mu^- + \bar{\nu}_\mu$
  - Stoppe Myon in 13.5 m Stahl (Reichweite für  $\mu$  bis 17 GeV ok)
  - nicht verbliebenen Stahl, nur Neutrinos, auf flüssiges Wasserstofftarget und beobachtet ca. 10 t Fackelkammern, was passiert
  - $\bar{\nu}_\mu + p \rightarrow n + \mu^+ ?$  ⚡ leicht zu unterscheiden
  - $\bar{\nu}_\mu + p \rightarrow n + e^+ ?$  unv. ionisierender Teilchen und elektronegativ. Schauten nach 8 Monaten und  $10^{14}$   $\nu$  auf Target:
  - 56 Ereignisse mit  $\mu$  und Null mit  $e$ , später noch drastisch verbessert mit selbem Ausgang
  - $\rightarrow \nu_e \neq \bar{\nu}_\mu$
  - (Nobelpreis für diese Experimente 1988 an L. Lederman, M. Schwartz und J. Steinberger)
  - aber: inzwischen wissen wir dass Neutrinos wechseln, Neutrinooszillationen beobachtet (Nobelpreise 2015). Das ist nur möglich, wenn Neutrinos Klasse haben (Maki et al. 1962, Pontecorvo 1968)
  - Klassen-eigenzustände  $\leftrightarrow$  Flavoreigenzustände

Sind Majorana-Neutrinos wirklich ausgeschlossen?

Suche nach neutrinolosem, doppeltem  $\beta$ -Zerfall



Kann dieses Neutrino im 2. Schritt absorbiert werden  $\bar{\nu}_e + n \rightarrow p + e^-$ , woraus es ein  $\nu_e$  braucht? dann wären beide idenitisch (Vorschlag Furry 1939, seitdem Sudar) benutze das zerfallende Element als hochauflösendes Kalorimeter, in dem Zerfallsenergie (Reichstof Kuni + Elektronen) gemessen wird  
klassischer  $\rightarrow$

Heidelberg-Rosshau Experiment: 11.5 kg  $^{76}\text{Ge}$  in Gran Sasso Tunnel ( $^{76}\text{Ge} \rightarrow ^{76}\text{As} \rightarrow ^{76}\text{Se}$ , einfacher Zerfall nicht mögl. da  $^{76}\text{As}$  energetisch höher als  $^{76}\text{Ge}$ )  $\tau = 1.9^{+16.8}_{-0.7} \cdot 10^{25} \text{ y}$  in 2001

Teil der Kollab berichtet in 2004 Beobachtung von  $24 \pm 7$  Zerfällen  $\stackrel{!}{=} T_{1/2}^{ov} = 1.19^{+0.37}_{-0.23} \cdot 10^{25} \text{ y}$

Weiter Experiment mit mehr Ge, weniger Hintergrund, GERDA, Messung 2011-2013, 21.6 kg·yr

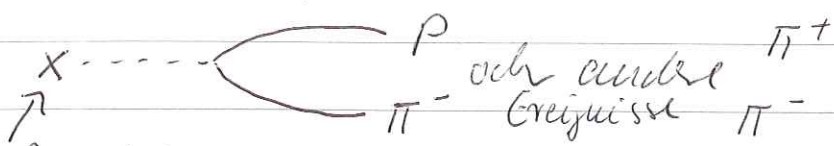
Kein Signal, bester Fit 0 Ereignisse

$$\text{limit } N^{ov} < 3.5 \leftrightarrow T_{1/2}^{ov} > 2.1 \cdot 10^{25} \text{ y}$$

Start größere Version GERDA II Ende 2015 + viele  
Reihe anderer laufenden und geplanten Experimente

### Strausgewesenhalte

Seit Ende der 1940er Jahre beobachtetes Puzzles: sogenannte V-Teilchen werden mit großer Wahrscheinlichkeit produziert, aber zerfallen langsam



WW-Punkt

Zerfall eines neutralen Teilchens

$$\Lambda^0 \rightarrow p + \pi^- \text{ bzw } K^0 \rightarrow \pi^+ + \pi^-$$

bei einigen GeV Strahlenergie ist Workzeug-  
querschnitt für Reaktion  $\pi^- + p \rightarrow \Lambda + K^0$

$$\sigma_{\pi^- p \rightarrow \Lambda K} \approx 1 \text{ mb} \stackrel{!}{=} 10\% \text{ von } \sigma_{\pi^- p \rightarrow \Delta}$$

typisch für starke WW.

$$\text{Aber Zerfallsbreite } \Gamma_\Lambda = \frac{\hbar c}{2c} = \frac{197 \text{ MeV fm s}}{10^{-10} \text{ s} \cdot 3 \cdot 10^{13} \text{ fm}} = 6.6 \cdot 10^{-12} \text{ MeV}$$

$$(\text{Vgl. } \Gamma_\Delta \approx 100 \text{ MeV, starke WW})$$

Pais-Regel (1952): Kaoneen und Lambdas ver-  
delen in starker WW produziert, aber zerfallen  
schwach.

Grund: Erhaltung von Strangeness in assoziierter  
Produktion, d.h. Produktion in Paaren mit  
 $S=1$  und  $S=-1$

Strangeness 1953 von Gell-Mann und Nishigima  
eingeführt (11 Jahre vor Quarks), um Pais-Regel  
zu erklären

$\sum_i S_i = \text{konst für starke und ein. WW}$
$\sum_i S_i \neq \text{konst für schwache WW}$

$$\pi^- + p \rightarrow \Lambda + K^0 \quad \text{Produktion starke WW}$$

$$S \ 0 \ + \ 0 \ - \ 1 \ + \ 1 \ \checkmark$$

$$\Lambda \rightarrow p + \pi^- \quad \text{und } K^0 \rightarrow \pi^+ + \pi^-$$

$$S \ -1 \ 0 \ 0 \ \Delta S = 1 \quad +1 \ 0 \ 0 \ \Delta S = -1$$

in schwachem Zerfall  $\Delta S = \pm 1$  möglich

## Isospin erhalten

Heisenberg 1932: Neutron und Proton sind Ladungszustände eines Teilchens, des Nukleons  
 belegt 1937 durch H. Bethe: Analyse von pp- und pn-Standarten zeigt nach Abzug von Coulombeffekten, daß pp und pn gleich in Stärke und Reichweite. Ebenso Massen von  ${}^3\text{H}$  und  ${}^3\text{He}$   
 $\rightarrow$  führt zu Konzept des Isospins

- Nukleon ist ein 2-Zustandsystem (Doppelzett)  
 charakterisiert durch eine Quantenzahl 'Isospin'  
 die in einem interval Hilbertraum 2 mögl.  
 Orientierung ergibt, p. und n  
 Formalismus analog zu Spin

$$I = \frac{1}{2} \quad I_3(p) = +\frac{1}{2} \quad I_3(n) = -\frac{1}{2}$$

Rotationen im Isospinraum durch Spineulen  
 analog zu Paulispineulen

2-Nukleon-System: Symmetrisierung der Wellenfunktion, wie für 2-Elektronensystem benötigt Spin  
 sym. Triplett  $\frac{1}{2}(pn+np)$  nn  
 antisym. Singulett  $\frac{1}{2}(pn-np)$   
 mit Wellenfunktion  $\chi(I, I_3)$  wird  
 Triplett  $\chi(1, 1) \quad \chi(1, 0) \quad \chi(1, -1)$   
 Singulett  $\chi(0, 0)$ .

Atomkerne: Z Protonen und N Neutronen  $A = N + Z$

$$\vec{I} = \sum_{i=1}^A \vec{I}_i \quad I_3 = \sum_i I_{3i}$$

$$\text{el. Ladung } Q = Ze = \sum_{i=1}^A q_i = e \sum_{i=1}^A (I_{3i} + \frac{1}{2}) = e(I_3 + A/2)$$

$\approx I_3 = Z - A/2 = \frac{1}{2}(Z - N)$  fest für jeden Atomkern  
aber für jeden Atomkern gibt es  $A$  Isospinvektoren  
je von Länge  $1/2$ , die vertikal mit  $I$  koppeln

$$I_{\max} = A/2 = \frac{1}{2}(N + Z) \text{ und wegen } I_3 = \frac{1}{2}(Z - N)$$

$$\approx I_{\min} = \frac{1}{2}|Z - N|$$

d.h. in jedem Kern sind die Zustände durch  
eine Quantenzahl  $I$ , zusätzlich zu  $J^\pi$ , charakte-  
risiert mit  $\frac{1}{2}|Z - N| \leq I \leq \frac{1}{2}(Z + N)$

Vergleiche Niveauschemata von benachbarten  
Kernen mit gleichem  $A$ , sogenannte Isobare.

Zustände mit gleichen  $I, J^\pi$  bilden Multipletts.  
Da  $I_3$  unterschiedlich, wird die Isospinsymmetrie  
der starken WW etwas durch die em. WW  
(verschiedene Coulombabstoßung) gebrochen.

Skala  $\alpha \leftrightarrow \alpha_s$

Beispiel:  ${}^7_3\text{Li}^4$  und  ${}^7_4\text{Be}^3$  } für beide  
 $I_3 \quad \frac{1}{2}(3-4) = -\frac{1}{2}$        $\frac{1}{2}(4-3) = \frac{1}{2}$        $I_{\min} = 1/2$   
 $I_{\max} = 7/2$

sehr ähnliche Niveauschemata, nur Verschie-  
bung um ca. 0.9 MeV

[Fig. 8-2]

alle niedrigen Zustände sind  $I = 1/2$

Energiedifferenz der Isobaren:

$$\Delta E = E(A, Z+1) - E(A, Z) = \frac{\partial E}{\partial Z} (\Delta Z = 1)$$

$$= \frac{\partial E_{cb}}{\partial Z} - \underbrace{(m_n - m_p)c^2}_{1.29 \text{ MeV}}$$

für gleichförmig gläserne Kugel  $E_{cb} = \frac{3}{5} \frac{(Ze)^2}{R}$

$$\frac{\partial E_{cb}}{\partial Z} = \frac{6}{5} \frac{Ze^2}{R} \approx \frac{6}{5} \frac{Ze^2}{1.29 \text{ MeV} A^{1/3}}$$

für  $Z=3$  und  $A=7$   $\frac{dE_{Cb}}{dZ} = 2.26 \text{ MeV}$   
 $\sim \Delta E = 2.26 - 1.29 = 0.97 \text{ MeV}$  gut im Vergleich zu Daten mit  $\Delta E = 0.86 \text{ MeV} \leftrightarrow$  2sospin  
gute Symmetrie in Kernen  
Es gibt auch Multiplets mit mehr als 2 Kernen

→ Fig 8-3

andere Hadronen:  $I_3$  wird über die Valenzquarks zugewandt und  $I \geq |I_3|$ , Wert steht fest, wenn gauzes Multiplett bekannt

z.B. Pion	$\pi^+ = (\bar{u}\bar{d})$	$I_3 = 1$	7sospintriplett mit $I=1$
	$\pi^- = (\bar{u}d)$	-1	
	$\pi^0 = \frac{1}{\sqrt{2}}(\bar{u}\bar{u} - \bar{d}\bar{d})$	0	

Zerfall  $\pi^0 \rightarrow \gamma\gamma$   $I=1 \rightarrow I=0$  ein WW bricht I-Symmetrie, aber erhält  $I_3$

Lambda  $\Lambda = (\bar{u}\bar{d}s)$ , keine geladenen Partikel  
also  $I_3=0$ ,  $I=0$  7sospinsingulett

Zerfall  $\Lambda \rightarrow p + \pi^-$

$\bar{u}\bar{d}s$  und  $\bar{u}\bar{d}l$

$I_3$	0	$1/2$	-1	$\Delta I_3 = -1/2$	schwache WW verletzt Erhaltung von $I, I_3, S$
$I$	0	$1/2$	1	$\Delta I \geq 1/2$	
$S$	-1	0	0	$\Delta S = 1$	